

# Une introduction aux codes correcteurs quantiques

Jean-Pierre Tillich

INRIA Rocquencourt, équipe-projet SECRET

20 mars 2008

## De quoi est-il question ici ?

- ▶ Code quantique : il est possible de corriger des erreurs même en présence de mesures qui **détruisent** l'état.
- ▶ Code quantique stabilisateur : espace **continu**, mais possibilité de corriger des erreurs de manière très semblable à un code correcteur d'erreurs **linéaire** standard.
- ▶ Code quantiques : possibilité de corriger l'erreur sans déterminer **exactement** l'erreur.

# 1. Introduction

- ▶ (Shor, 1994) : Un ordinateur quantique peut factoriser et trouver des logarithmes discrets de manière efficace  $\implies$  casse tous les systèmes de chiffrement à clé publique utilisés actuellement.
- ▶ Construction d'un tel ordinateur : besoin de traiter le problème de **decohérence**. Codes correcteurs quantiques : un moyen de protéger les qubits contre ce phénomène et d'effectuer des **calculs tolérants aux fautes**.
- ▶ Communications quantiques dans les protocoles quantiques d'échange de clé pourraient aussi bénéficier de CCQ ( $\implies$  augmenter les distances de communication).

## Quelques notions quantiques

$$\mathcal{H} \stackrel{\text{def}}{=} \{ \alpha |0\rangle + \beta |1\rangle \mid \alpha, \beta \in \mathbb{C} \} \text{ avec } |0\rangle \perp |1\rangle$$

$$\mathcal{H}^{\otimes n} \stackrel{\text{def}}{=} \underbrace{\mathcal{H} \otimes \mathcal{H} \otimes \cdots \otimes \mathcal{H}}_n = \left\{ \sum_{x \in \{0,1\}^n} \alpha_x |x\rangle \mid \alpha_x \in \mathbb{C} \right\}$$

Un qubit :

$$|\psi\rangle = \alpha |0\rangle + \beta |1\rangle \in \mathcal{H}, \text{ avec } |\alpha|^2 + |\beta|^2 = 1.$$

Un registre de  $n$  qubits :

$$|\psi\rangle = \sum_{x \in \{0,1\}^n} \alpha_x |x\rangle \in \mathcal{H}^{\otimes n} \text{ avec } \sum_{x \in \{0,1\}^n} |\alpha_x|^2 = 1.$$

## Evolutions quantiques possibles

- ▶ transformation unitaire  $U$ ,

$$|\psi\rangle \in \mathcal{H}^{\otimes n} \rightsquigarrow U |\psi\rangle \in \mathcal{H}^{\otimes n}$$

- ▶ **Mesure** associée à une décomposition

$$\mathcal{H}^{\otimes n} = E_1 \overset{\perp}{\oplus} E_2 \overset{\perp}{\oplus} \dots \overset{\perp}{\oplus} E_t :$$

$$|\psi\rangle \in \mathcal{H}^{\otimes n} \rightsquigarrow \frac{1}{\|P_i |\psi\rangle\|} P_i |\psi\rangle \quad \text{avec probabilité } \|P_i |\psi\rangle\|^2.$$

où  $P_i$  est la projection orthogonale sur le sous-espace  $E_i$  et le résultat de la mesure est “on est dans le sous-espace  $i$ ”

## Exemple de mesure

Mesure du 2ème qubit d'un registre quantique  $|\psi\rangle = \alpha_{00}|0\rangle \otimes |0\rangle + \alpha_{01}|0\rangle \otimes |1\rangle + \alpha_{10}|1\rangle \otimes |0\rangle + \alpha_{11}|1\rangle \otimes |1\rangle$  dans  $\mathcal{H}^{\otimes 2} = E_0 \oplus E_1$  où

$$E_0 = \{ \alpha |0\rangle \otimes |0\rangle + \beta |1\rangle \otimes |0\rangle \mid \alpha, \beta \in \mathbb{C} \}$$

$$E_1 = \{ \alpha |0\rangle \otimes |1\rangle + \beta |1\rangle \otimes |1\rangle \mid \alpha, \beta \in \mathbb{C} \}$$

$$|\psi\rangle \rightsquigarrow \frac{\alpha_{00}|0\rangle \otimes |0\rangle + \alpha_{10}|1\rangle \otimes |0\rangle}{\sqrt{|\alpha_{00}|^2 + |\alpha_{10}|^2}} \text{ avec prob. } |\alpha_{00}|^2 + |\alpha_{10}|^2$$

$$|\psi\rangle \rightsquigarrow \frac{\alpha_{01}|0\rangle \otimes |1\rangle + \alpha_{11}|1\rangle \otimes |1\rangle}{\sqrt{|\alpha_{01}|^2 + |\alpha_{11}|^2}} \text{ avec prob. } |\alpha_{01}|^2 + |\alpha_{11}|^2$$

## Modèle d'erreur

Beaucoup plus riche que dans le monde classique :  
inversion de qubit (X)

$$|0\rangle \rightarrow |1\rangle$$

$$|1\rangle \rightarrow |0\rangle$$

erreur de phase (Z)

$$|0\rangle \rightarrow |0\rangle$$

$$|1\rangle \rightarrow -|1\rangle$$

les deux! (Y)

$$|0\rangle \rightarrow -i |1\rangle$$

$$|1\rangle \rightarrow i |0\rangle$$

$$XZ = -ZX = -iY$$

$$XY = -YX = iZ$$

$$YZ = -ZY = -iX$$



# Le groupe de Pauli

Le groupe de Pauli sur 1 qubit  $\mathcal{G}_1$  :

$$\{\pm I, \pm X, \pm Y, \pm Z, \pm iI, \pm iX, \pm iY, \pm iZ\}.$$

Les éléments de ce groupe commutent ou anti-commutent.

## Le groupe $\mathcal{G}_n$

Le groupe de Pauli sur  $n$  qubits  $\mathcal{G}_n$  :

$$\begin{aligned}\mathcal{G}_n &= \{E_1 \otimes E_2 \otimes \cdots \otimes E_n \mid E_i \in \mathcal{G}_1\} \\ &\equiv \{I, X, Y, Z\}^n \times \{\pm 1, \pm i\}\end{aligned}$$

► Les éléments de  $\mathcal{G}_n$  commutent ou anti-commutent

**Un critère simple** :  $E_1 \dots E_n$  et  $E'_1 \dots E'_n$  commutent si et ssi  $\#\{i : E_i E'_i = -E'_i E_i\}$  est **pair**.

**Exemple** :  $XXI$  et  $XYX$  anti-commutent et  $XXI$  et  $ZZZ$  commutent.

## Un exemple

$$\begin{aligned} |011\rangle &\stackrel{\text{def}}{=} |0\rangle \otimes |1\rangle \otimes |1\rangle \\ X \otimes I \otimes Z |011\rangle &= (X \otimes I \otimes Z)(|0\rangle \otimes |1\rangle \otimes |1\rangle) \\ &= (X |0\rangle) \otimes (I |1\rangle) \otimes (Z |1\rangle) \\ &= - |1\rangle \otimes |1\rangle \otimes |1\rangle \\ &= - |111\rangle \end{aligned}$$

## Le canal de dépolarisation

Sur un canal de dépolarisation de prob.  $p$ , tous les qubits subissent la transformation suivante indépendamment les uns des autres

$$|\psi\rangle \rightsquigarrow |\psi\rangle \text{ avec probabilité } 1 - p$$

$$|\psi\rangle \rightsquigarrow X |\psi\rangle \text{ avec probabilité } \frac{p}{3}$$

$$|\psi\rangle \rightsquigarrow Y |\psi\rangle \text{ avec probabilité } \frac{p}{3}$$

$$|\psi\rangle \rightsquigarrow Z |\psi\rangle \text{ avec probabilité } \frac{p}{3}$$

**Exemple :** Pour un registre de 5 qubits

$$\mathbf{Prob}(E = I \otimes X \otimes I \otimes I \otimes Z) = (1 - p)^3 \left(\frac{p}{3}\right)^2$$

## 2. Codes quantiques

1. Non seulement  $|0\rangle$  et  $|1\rangle$  doivent être protégés, mais aussi toute superposition  $\alpha |0\rangle + \beta |1\rangle$
2. Copier un qubit est impossible ( “No-cloning theorem” ) . Pas d'  $U$  unitaire t.q. pour tout qubit  $|\psi\rangle$  on a :

$$U : |\psi\rangle \otimes |0\rangle \mapsto |\psi\rangle \otimes |\psi\rangle$$

3. La mesure peut modifier le qubit...

# Codes quantiques

Un **code quantique**  $C$  de longueur  $n$  est un sous-espace de  $\mathcal{H}^{\otimes n}$ .  
Si de dimension  $2^k$ , il permet d'encoder l'état d'un registre de  $k$  qubits.

Le **rendement** d'un code est défini comme  $\frac{k}{n}$  dans ce cas et

$$\frac{\log_2(\dim C)}{n}$$

en général.

# Codes stabilisateurs quantiques

- ▶ Ont beaucoup de points communs avec des codes linéaires classiques.
- ▶ Utilisent les propriétés du groupe de Pauli.

## Définition

- ▶ Soit  $\mathcal{S}$  un sous-groupe **abélien** de  $\mathcal{G}_n$  où tous les éléments sont d'ordre au plus 2 et t.q.  $-1 \notin \mathcal{S}$ . Un tel sous-groupe est dit **admissible**.
- ▶ Un **code stabilisateur**  $C$  associé à un sous-groupe admissible  $\mathcal{S}$  est un sous-espace de  $\mathcal{H}^{\otimes n}$  défini par

$$C = \{|\psi\rangle \in \mathcal{H}^{\otimes n} \mid \forall M \in \mathcal{S}, M|\psi\rangle = |\psi\rangle\}$$



## La propriété fondamentale

**Proposition 1.** *Si  $S$  est généré par  $n - k$  générateurs indépendants, alors la dimension du code associé est  $2^k$ .*

# Syndrome

Pour  $E, F \in \mathcal{G}_n$  nous notons

$$E \star F \stackrel{\text{def}}{=} 0 \text{ si } E \text{ et } F \text{ commutent et } 1 \text{ sinon.}$$

Pour un choix de  $M_1, \dots, M_{n-k}$  générateurs indépendants de  $\mathcal{S}$ , le **syndrome** associé à  $E \in \mathcal{G}_n$  est

$$\sigma(E) \stackrel{\text{def}}{=} (M_i \star E)_{1 \leq i \leq n-k}$$

## Syndrome (II)

Soit  $s = (s_i)_{1 \leq i \leq n-k} \in \{0, 1\}^{n-k}$  et  $C$  le code stabilisateur associé à  $\mathcal{S} = \langle M_1, \dots, M_{n-k} \rangle$ . On pose

$$C(s) \stackrel{\text{def}}{=} \{|\psi\rangle : M_i |\psi\rangle = (-1)^{s_i} |\psi\rangle\}.$$

Noter que pour  $E \in \mathcal{G}_n$  de syndrome  $s$  et  $|\psi\rangle \in C$  on a

$$M_i E |\psi\rangle = (-1)^{s_i} E M_i |\psi\rangle = (-1)^{s_i} E |\psi\rangle \implies E |\psi\rangle \in C(s).$$

On peut aussi noter que

$$\mathcal{H}^{\otimes n} = \bigoplus_{s \in \{0,1\}^{n-k}}^{\perp} C(s)$$

$\implies$  mesure associée

## Un premier exemple

$$\mathcal{S} = \langle ZZI, IZZ \rangle$$

$$H = \begin{pmatrix} Z & Z & I \\ I & Z & Z \end{pmatrix}$$

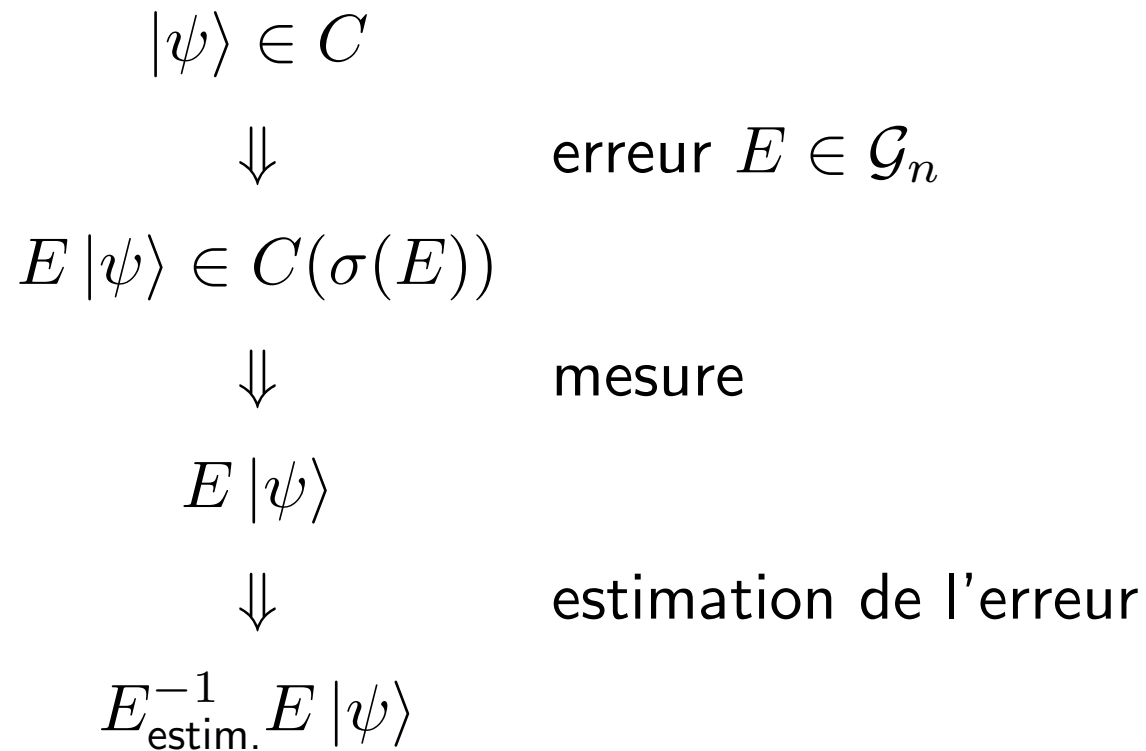
$$C = \text{Vect}(|000\rangle, |111\rangle)$$

$$C(01) = \text{Vect}(|001\rangle, |110\rangle)$$

$$C(10) = \text{Vect}(|100\rangle, |011\rangle)$$

$$C(11) = \text{Vect}(|010\rangle, |101\rangle)$$

# Décodage



## Un premier exemple(II)

$$|000\rangle \in C$$

$$\Downarrow$$

erreur  $IXI$

$$|010\rangle \in C(11)$$

$$\Downarrow$$

mesure : on est dans  $C(11)$

$$|010\rangle$$

$$\Downarrow$$

estimation de l'erreur

$$IXI |010\rangle = |000\rangle$$

## Un premier exemple(III)

$$|000\rangle + |111\rangle \in C$$

$$\Downarrow$$

erreur  $IZI$

$$|000\rangle - |111\rangle \in C(00)$$

$$\Downarrow$$

mesure : on est dans  $C(00)$

$$|000\rangle - |111\rangle$$

$$\Downarrow$$

estimation de l'erreur

$$|000\rangle - |111\rangle$$

## Un deuxième exemple

$$H = \begin{pmatrix} Z & Z & I & I & I & I & I & I & I \\ I & Z & Z & I & I & I & I & I & I \\ I & I & I & Z & Z & I & I & I & I \\ I & I & I & I & Z & Z & I & I & I \\ I & I & I & I & I & I & Z & Z & I \\ I & I & I & I & I & I & I & Z & Z \\ X & X & X & X & X & X & I & I & I \\ I & I & I & X & X & X & X & X & X \end{pmatrix}$$

erreur  $ZIIIIIII \implies$  syndrome 00000010

erreur  $IZIIIIIII \implies$  syndrome 00000010



## Analogies

codes linéaires

$k$  bits encodés avec  $n$  bits  
sous-espace de dim.  $k$

matrice de parité  $H$

$n - k$  lignes,  $n$  colonnes

syndrome  $\in \{0, 1\}^{n-k}$

codes stabilisateurs quantiques

$k$  qubits encodés avec  $n$  qubits  
sous-espace de dim.  $2^k$

générateurs de  $\mathcal{S}$

$n - k$  générateurs de  $\mathcal{G}_n$  qui **commutent**

syndrome  $\in \{0, 1\}^{n-k}$

## erreurs bénignes et problématiques

- ▶ Soit  $C$  un code stabilisateur associé à  $\mathcal{S} = \langle S_1, \dots, S_{n-k} \rangle$ . Deux types d'erreur ont syndrome 0
  - celles qui sont **bénignes**, elles appartiennent à  $\mathcal{S}$  et sont de type **B** (comme **B**énignes). Une telle erreur est sans conséquence : pour une telle erreur  $E$  on a pour tout  $|\psi\rangle \in C$  :  $E|\psi\rangle = |\psi\rangle$ .
  - celles qui sont **problématiques** : elles n'appartiennent pas à  $\mathcal{S}$ . Elles sont dites de type **P** (comme **P**roblématiques). Pour une telle erreur  $E$ , il existe  $|\psi\rangle \in C$  t.q.  $E|\psi\rangle \neq |\psi\rangle$ .

## Distance minimale et capacité de correction

▶ Décodage réussi :  $E_{\text{estimé}}^{-1} E_{\text{canal}}$  de type **B**

▶ Distance minimale

$$d \stackrel{\text{def}}{=} \min\{|E| : E \text{ de type } \mathbf{P}\}$$

▶ Capacité de correction

$$\left\lfloor \frac{d-1}{2} \right\rfloor$$

## Le premier exemple revisité

$$\mathcal{S} = \langle ZZI, IZZ \rangle$$

$$H = \begin{pmatrix} Z & Z & I \\ I & Z & Z \end{pmatrix}$$

$$C = \text{Vect}(|000\rangle, |111\rangle)$$

Erreurs bénignes :  $III, ZZI, IZZ, ZIZ$ .

Erreurs problématiques (p.ex.)  $ZII, ZZZ$ .

Distance minimale : 1.

### 3. codes LDPC quantiques

Pour un code stabilisateur défini par  $\mathcal{S} = \langle M_1, M_2, \dots, M_{n-k} \rangle$ , une “matrice de parité” associée est une matrice  $(n - k) \times n$  dont les lignes sont données par les  $M_i$ .

code LDPC quantique : a une matrice de parité creuse.

## Le problème : construire un code Q-LDPC de bonne distance minimale

**Fait 1.** *Si une colonne ne contient pas plus d'un type d'élément  $\neq I$  alors il y a une erreur de syndrome 0 et de poids 1.*

Exemple :

$$\begin{pmatrix} X & X & X & X \\ I & Z & Z & I \\ X & I & Z & Z \end{pmatrix}$$

$XIII$  est une erreur de ce type.

## Les cycles de taille 4 sont inévitables

Deux lignes de la matrice de parité s' **intersectent** en une colonne  $i$  en  $A$  et  $B$ , si  $A, B \in \{X, Y, Z\}$  si la première ligne a  $A$  en colonne  $i$  et la seconde à  $B$ .

Distance minimale  $> 1$

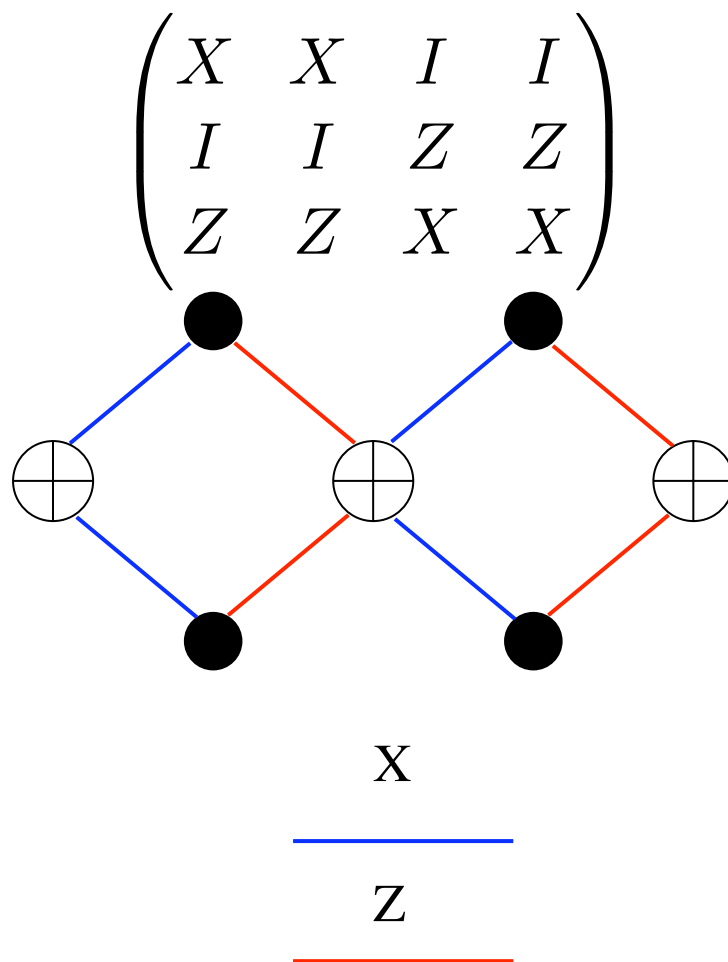


pour toute colonne  $i$  il y a une paire de lignes s'intersectant en  $i$  avec deux entrées différentes.



Ces lignes doivent s'intersecter en une autre colonne pour commuter.

## Un exemple de graphe de Tanner





## Problèmes ouverts

- ▶ Trouver une famille infinie de codes LDPC quantiques de rendement non nul et de distance minimale **linéaire** en la longueur.
- ▶ Trouver une famille infinie de codes LDPC quantiques de rendement non nul et de distance minimale **non bornée**.

## 4. La capacité $\mathcal{Q}$ du canal de dépolariation

Inconnue...

### Proposition 2.

$$\mathcal{Q} \geq 1 - h(p) - p \log_2 3$$

Nombre de syndromes  $\neq$   $\geq$  taille de l'ensemble typique des erreurs

$$2^{n-k} \geq 3^{np} \binom{n}{np}$$

$$1 - \frac{k}{n} \geq p \log_2 3 + h(p)$$

**Corollaire 1.**

$$Q > 0 \text{ pour } p \leq 0.18928$$

**Proposition 3.**

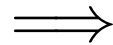
$$Q > 0 \text{ pour } p \leq 0.1905$$

**Proposition 4.**

$$Q = 0 \text{ pour } p \geq \frac{1}{4}$$

## Une explication

Des erreurs de même **syndrome** peuvent être corrigées en même temps si elles appartiennent toutes à un même coset de  $\mathcal{S}$ .



la taille de l'ensemble des erreurs typiques peut être beaucoup plus grande que le nombre de syndromes.

## Le résultat de Shor

$$H = \begin{pmatrix} Z & Z & I \\ I & Z & Z \end{pmatrix}$$

$$\mathcal{S} = \{III, ZZI, IZZ, ZIZ\}.$$

Erreurs de syndrome  $S = (1, 0)$ 

$A_1 = (XII).S$	$A_2 = (YII).S$	$A_3 = (IYY).S$	$A_4 = (IYX).S$
$XII$	$YII$	$IYY$	$IYX$
$YZI$	$XZI$	$IXY$	$ZXX$
$XZZ$	$YZZ$	$IXX$	$IXY$
$YIZ$	$XIZ$	$ZYX$	$ZYY$

$$p_i(s) \stackrel{\text{def}}{=} \mathbf{Prob}(E \in A_i | S = s)$$

## Le résultat de Shor

$$\bar{E} = i \text{ si et ssi } E \in A_i$$

$$H_2(\bar{E}|S) = - \sum_s \sum_{i=1}^4 p_i(s) \log_2 p_i(s) \mathbf{Prob}(S = s)$$

**Théorème 1.** *Si  $H_2(\bar{E}|S) < 1$  alors  $Q > 0$ .*